



БИООРГАНИЧЕСКАЯ ХИМИЯ

том 5 * № 4 * 1979

УДК 547.875.7.04

СИНТЕЗ, ФИЗИКО-ХИМИЧЕСКИЕ СВОЙСТВА И ИЗУЧЕНИЕ КИНЕТИКИ ПЕРЕГРУППИРОВКИ N¹-ЗАМЕЩЕННЫХ ПРОИЗВОДНЫХ АДЕНОЗИН-3',5'-ЦИКЛОФОСФАТА

*Гуляев Н. Н., Туницкая В. Л., Мазурова Л. А.,
Северин Е. С.*

Московский государственный университет им. М. В. Ломоносова, кафедра биохимии

Синтезирован ряд неизвестных ранее производных аденоzin-3',5'-циклофосфата (сAMP) (I), содержащих заместители в положении N₍₁₎ пуринового основания молекулы. Некоторые из полученных соединений содержат в составе заместителей реакционноспособные группировки различной природы. Обнаружена аномальная легкость протекания перегруппировки Димрота для N¹-(β-аминоэтокси)-сAMP и 8-бром-N¹-(β-аминоэтокси)-сAMP, обусловленная, по-видимому, внутримолекулярным катализом, осуществляемым алифатической аминогруппой бокового заместителя. Исследована кинетика перегруппировки Димрота для N¹-(β-аминоэтокси)-сAMP, а также для некоторых других N¹-замещенных производных сAMP.

Ранее нами был синтезирован ряд аналогов сAMP, модифицированных по различным положениям молекулы: по 2'-ОН- и экзо-NH₂-группам [1], по положению C₍₈₎ гетероциклического основания и по циклофосфатной группировке [2, 3]. Большинство из полученных соединений содержали в модифицированных участках молекулы реакционноспособные группировки различной природы. Исследование взаимодействия таких аналогов сAMP с сAMP-связывающими ферментами — регуляторной субъединицей протеинкиназы, фосфодиэстеразой сAMP — позволило выявить некоторые закономерности структуры сAMP-связывающих центров этих ферментов [1, 2, 4].

В продолжение этих исследований мы считали целесообразным получить также аналоги сAMP, содержащие реакционноспособные группировки в составе заместителя в положении N₍₁₎ пуринового основания молекулы. Учитывая склонность N¹-замещенных производных адениновых нуклеозидов к перегруппировке Димрота, интересно было изучить аналогичный процесс и для ряда синтезированных соединений.

Известны три метода модификации N₍₁₎ пуринового основания молекулы: ацилирование атома азота [5], его алкилирование [6], а также метод, заключающийся в предварительном получении N¹-окси-сAMP [7] и его последующем алкилировании галоидными алкилами [6]. Для синтеза N¹-замещенных производных сAMP мы применили последний способ, так как он обеспечивает получение в мягких условиях достаточно стабильных соединений, что существенно при синтезе аналогов, содержащих реакционноспособные группировки.

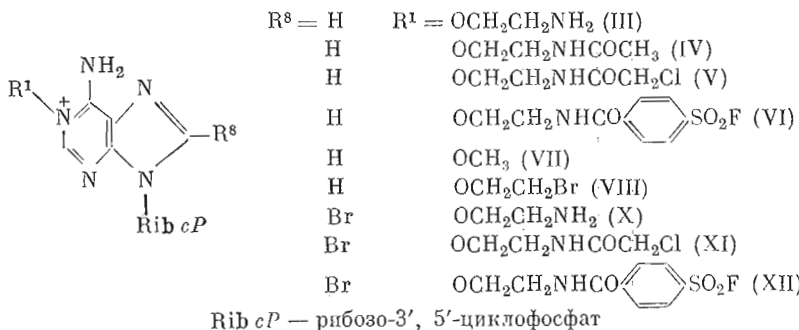
Ранее аналогичным способом [6] были получены N¹-метокси-, N¹-этокси- и N¹-бензилоксипроизводные cAMP, однако до настоящего времени были неизвестны N¹-замещенные производные cAMP, которые содержали бы в составе заместителя активные функциональные группы, способные к образованию ковалентных связей в соответствующих центрах cAMP-связывающих ферментов.

В работе, касающейся синтеза 8-замещенных производных cAMP [2], мы показали, что введение реакционноспособных группировок в молекулу нуклеотида можно осуществить при избирательном ацилировании алифатической аминогруппы в указанном положении *n*-нитрофениловыми эфирами соответствующих кислот. Аналогичный подход был использован нами и при синтезе N¹-замещенных производных cAMP, содержащих реакционноспособные группировки: первоначальное алкилирование N¹-оксида cAMP (II) β-бромэтиламином, приводящее к получению неизвестного ранее N¹-(β-аминоэтокси)-cAMP (III), с последующим избирательным введением ацильного остатка по алифатической аминогруппе соединения (III).

Таким способом были получены не описанные ранее N¹-(N'-ацетиламиноэтокси)-cAMP (IV), N¹-(N'-хлорацетиламиноэтокси)-cAMP (V) и N¹-[N'-(*n*-фторсульфонилбензоил)-аминоэтокси]-cAMP (VI). Кроме того, алкилированием N¹-оксида cAMP иодистым метилом и бромистым этиленом были синтезированы соответственно N¹-метокси-cAMP (VII) и неизвестный ранее N¹-(β-бромэтокси)-cAMP (VIII).

Известно также, что N¹-замещенные аналоги cAMP являются хорошими субстратами фосфодиэстеразы cAMP [8], а введение дополнительного заместителя в положение C₍₈₎ приводит к потере субстратных свойств соединения. Поэтому для получения более эффективных ингибиторов фосфодиэстеразы был осуществлен синтез аналогичной серии N¹-замещенных производных cAMP, содержащих дополнительно атом брома в положении C₍₈₎. Исходным веществом для получения таких соединений является 8-бром-N¹-окси-cAMP (IX) [9]. Ниже приведены структурные формулы синтезированных соединений (схема 1).

Схема 1



Физико-химические свойства полученных аналогов cAMP представлены в табл. 1. В УФ-спектрах N¹-замещенных производных наблюдался максимум поглощения при 257–259 нм, характерный для N¹-замещенных производных адениновых нуклеотидов [6]. Для соединений, содержащих атом брома в положении C₍₈₎, максимум поглощения смешался до 262–264 нм. Наличие амидной связи в ацильных производных (IV–VI, XI, XII) подтверждалось присутствием в их ИК-спектрах полосы поглощения при 1630–1650 см⁻¹. В УФ-спектрах соединений (VI) и (XII), содержащих *n*-фторсульфонилбензоильную группировку, имеется дополнительный максимум поглощения при 238 нм, а в ИК-спектрах этих соединений — полоса поглощения при 1200 см⁻¹, что характерно для ароматических сульфонилгалогенидов.

Таблица 1

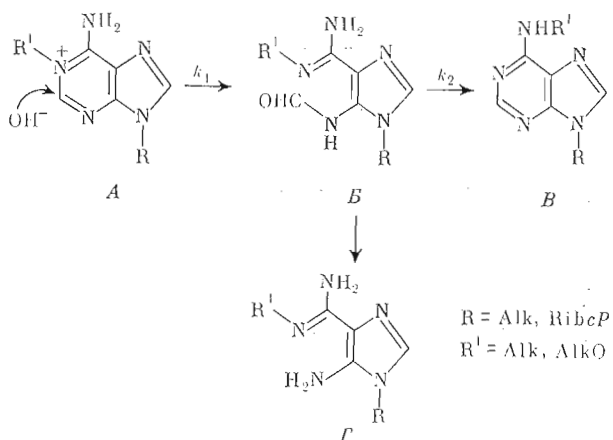
Физико-химические свойства синтезированных соединений

Соединение	Брутто-формула	Анализ, %				R_f (Б)	УФ-спектр		ИК-спектр, $\nu, \text{см}^{-1}$	Выход, %		
		C		H			P	$\lambda, \text{нм}$	$\varepsilon \cdot 10^{-3}$			
		найдено	вычислено	найдено	вычислено							
(III)	$\text{C}_{12}\text{H}_{18}\text{N}_6\text{PO}_7 \cdot \text{H}_2\text{O}$	—	—	—	—	—	0,18	258	—	—		
(IV)	$\text{C}_{14}\text{H}_{20}\text{N}_6\text{PO}_8 \cdot \text{H}_2\text{O}$	37,46	37,42	5,04	4,94	6,78	0,26	258	13,5	1630 ($\text{C}=\text{O}$) 22,0		
(V)	$\text{C}_{14}\text{H}_{19}\text{N}_6\text{PO}_8\text{Cl} \cdot \text{H}_2\text{O}$	34,75	34,76	4,43	4,38	6,17	0,43	258	13,8	1640 ($\text{C}=\text{O}$) 22,2		
(VI)	$\text{C}_{19}\text{H}_{21}\text{N}_6\text{PO}_{10}\text{SF} \cdot \text{H}_2\text{O}$	38,72	38,44	3,94	3,91	4,87	5,22	0,74	258 238	1650 ($\text{C}=\text{O}$) 1200 (SO_2F) 40,0		
(VII)	$\text{C}_{14}\text{H}_{15}\text{N}_5\text{PO}_7 \cdot \text{H}_2\text{O}$	35,25	35,00	4,09	4,27	8,01	8,21	0,43	257 14,7	— 46,6		
(VIII)	$\text{C}_{12}\text{H}_{16}\text{N}_5\text{PO}_7\text{Br} \cdot \text{H}_2\text{O}$	31,00	30,60	4,06	3,85	6,51	6,57	0,53	262 13,4	— 37,0		
(IX)	$\text{C}_{12}\text{H}_{17}\text{N}_6\text{PO}_7\text{Br}$	—	—	—	—	—	—	0,28	263	—		
(X)	$\text{C}_{14}\text{H}_{18}\text{N}_6\text{PO}_8\text{ClBr} \cdot \text{H}_2\text{O}$	30,48	29,89	3,52	3,58	5,19	5,50	0,45	263	13,9		
(XI)	$\text{C}_{19}\text{H}_{20}\text{N}_6\text{PO}_{10}\text{SFBBr} \cdot \text{H}_2\text{O}$	34,31	33,92	3,46	3,30	4,28	4,61	0,72	263 238	1640 ($\text{C}=\text{O}$) 34,0		
(XII)									1650 ($\text{C}=\text{O}$) 1200 (SO_2F)	18,0		

Как указывалось выше, промежуточным продуктом в синтезе N¹-замещенных производных cAMP, содержащих реакционноспособные группировки, является N¹-(β-аминоэтокси)-cAMP (III) и 8-бром-N¹-(β-аминоэтокси)-cAMP (X). Однако выделить и очистить эти вещества не представлялось возможным вследствие их крайней лабильности: в водных растворах, при хроматографии на бумаге, а также при непродолжительном хранении в присутствии следов влаги они разрушались с образованием новых продуктов, которые были нейтральны по данным электрофореза на бумаге (рН 4,5) в отличие от исходных соединений, имевших при этих условиях положительный заряд. Новые продукты сохраняли алифатическую аминогруппу, что было показано реакцией с нингидрином, отличались от исходных по хроматографической подвижности и УФ-спектрам. Продукт разложения соединения (III) имел $\lambda_{\text{макс}}$ 263 нм в отличие от исходного, имеющего $\lambda_{\text{макс}}$ 258 нм.

Известно, что N¹-алкил- и N-алкоксипроизводные адениновых нуклеозидов в щелочных условиях подвергаются перегруппировке Димрота [10–12] с образованием N⁶-алкил-(алкокси)-замещенных нуклеозидов (схема 2).

Схема 2



Можно предположить, что лабильность N¹-(β-аминоэтокси)-cAMP связана с повышенной легкостью протекания такой перегруппировки. Для выяснения этого вопроса, а также с целью изучения устойчивости синтезированных соединений мы исследовали кинетику перегруппировки Димрота для некоторых из полученных аналогов cAMP, используя методы тональной хроматографии и электрофореза на бумаге.

Ранее Макон и Вольфенден [11] подробно исследовали кинетику перегруппировки Димрота для N¹-метиладенозина. Авторы показали, что промежуточный продукт *B* (схема 2) не накапливается в реакционной смеси, т. е. $k_2 \gg k_1$. При изучении перегруппировки N¹-метокси-cAMP (VII) мы, напротив, наблюдали значительное образование промежуточного продукта. Если перегруппировка проводилась при температуре ниже 50°, вторая стадия реакции (*B*→*B'*) вообще не протекала, причем продуктом реакции являлось соединение *B* (табл. 2). При повышении температуры образовывался конечный продукт *B'*, однако разница в скоростях стадий *A*→*B* и *B*→*B'* сохранялась столь значительной, что можно было с достаточной точностью определить отдельно константы k_1 и k_2 . При определении k_2 за начало отсчета принимали время *t*, когда в смеси не обнаруживалось заметных количеств как исходного соединения *A*, так и конечного продукта *B*. УФ-спектры и спектры ИД N¹-метокси-cAMP (VII) и продуктов его перегруппировки представлены на рис. 1. В УФ-спектре наблюдается

Таблица 2

Кинетика перегруппировки Димрота для N¹-алкоксипроизводных cAMP

Соединение	Условия	N ¹ -Метокси-cAMP			N ¹ -(β-аминоэтокси)-cAMP			N ¹ -(N'-ацитиламиноэтокси)-cAMP		
		Стадия	t _{1/2}	k _{каж.} ·10 ⁸ , мин ⁻¹	Стадия	t _{1/2} ,	k _{каж.} ·10 ⁸ , мин ⁻¹	Стадия	t _{1/2}	k _{каж.} ·10 ⁸ , мин ⁻¹
pH 6	20°	A → B	>100 ч	—	A → B → B	33,3	2,05	A → B	>400 ч	—
	50°	A → B	>100 ч	—	A → B → B	3,25	21,3	A → B → B	19,8 ч	0,58
	80°	A → B	>100 ч	—	A → B → B	1,80	38,6	A → B → B	7,46 ч	1,62
	20°	A → B	47 ч	0,25	A → B → B	5,50	12,6	A → B	72,0 ч	0,162
	50°	A → B	7,5 ч	1,54	A → B → B	2,35	29,5	A → B	6,72 ч	1,72
	80°	B → B	83 ч	0,14	A → B → B	1,50	46,3	A → B	7,0 мин	100
pH 8	20°	A → B	5,1 мин	136	A → B → B	1,50	—	A → B	8,95 ч	1,29
	50°	B → B	7,5 ч	1,54	A → B → B	0,5	—	A → B	30,0 мин	23
	80°	A → B	15,7 ч	0,74	A → B → B	<0,5	—	A → B	3,0 мин	230
	20°	A → B	25,8 мин	27	A → B → B	<0,5	—	A → B	—	—
	50°	A → B	67,9 ч	0,17	A → B → B	<0,5	—	A → B	—	—
	80°	A → B	3,14 мин	221	A → B → B	<0,5	—	A → B	—	—
		B → B	7,5 ч	4,0						

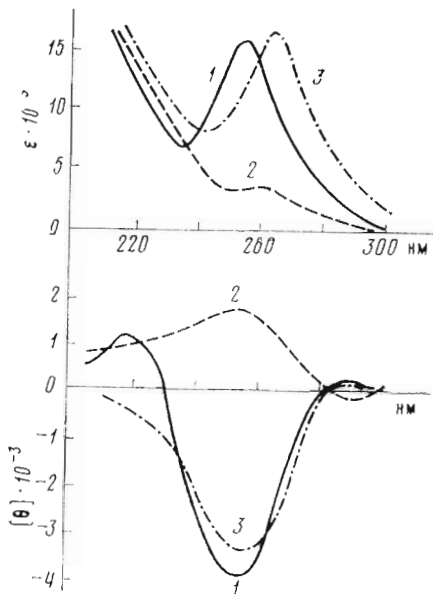


Рис. 1

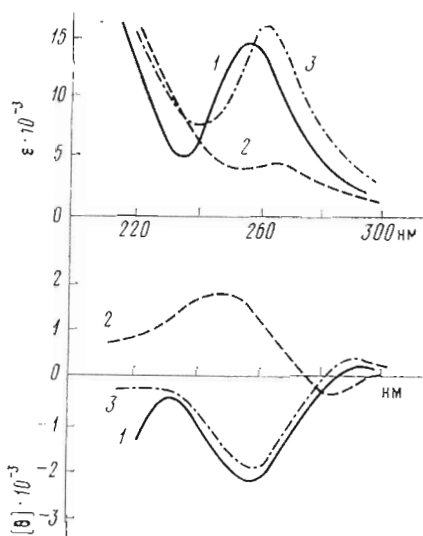


Рис. 2

Рис. 1. УФ-спектры и спектры КД соединения VII (1) и продуктов его перегруппировки: *B* – N¹-метокси-5-формамидо-1-(β-D-рибофуранозил)-имидазол – 4 – карбоксамидин-3',5'-циклофосфата (2) и *B* – N⁶-метокси-cAMP (3)

Рис. 2. УФ-спектры и спектры КД соединения (IV) (1) и продуктов его перегруппировки: *B* – N-(N'-ацетиламиноэтокси)-5-формамидо-1-(β-D-рибофуранозил)-имидазол – 4 – карбоксимидин-3',5'-циклофосфата (2) и *B* – N⁶-(N'-ацетиламиноэтокси)-cAMP (3)

Рис. 3. УФ-спектры и спектры КД соединения (III) (1) и продукта его перегруппировки *B* – N⁶-(β-аминоэтокси)-cAMP (2)

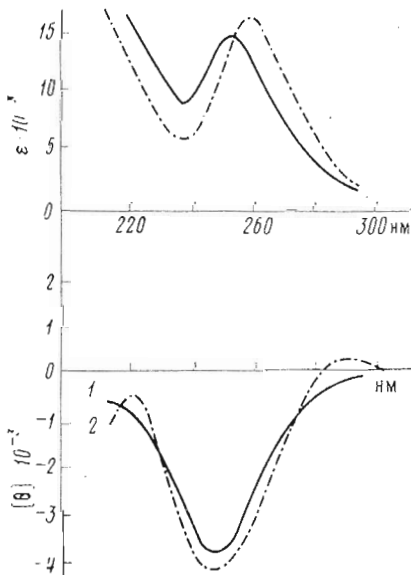


Рис. 3

вначале уменьшение максимума поглощения при 257 нм при переходе от *A* к *B*, а затем появление нового максимума поглощения при 267 нм, характерного для N⁶-метокси-cAMP (*B*). Спектры КД N¹-метокси-cAMP и N⁶-метокси-cAMP аналогичны по форме и подобны спектру cAMP [13], тогда как спектр интермедиата имеет положительную полосу КД в области 250–260 нм наряду с небольшим отрицательным эффектом при 280 нм.

Следует отметить также несколько большую устойчивость N¹-метокси-cAMP по сравнению с N¹-метиладенозином [11], которая может быть, по-видимому, объяснена донорным эффектом электронной пары на атоме кислорода при N₍₁₎, способствующим стабилизации гетероцикла.

Аналогично при помощи тонкослойной хроматографии, спектров поглощения и КД изучалась перегруппировка N^1 -(N' -ацетиламиноэтокси)-cAMP. Это соединение, алифатическая аминогруппа которого защищена ацильным остатком, было лишь несколько более лабильно, чем N^1 -метокси-cAMP (табл. 2). Следует, однако, отметить, что при $pH \geq 8$ мы наблюдали для этого соединения только образование соединения B , но не образование N^6 -замещенного продукта. Возможно, в данном случае несколько легче, чем для N^1 -метокси-cAMP, протекает реакция деформилирования (стадия $B \rightarrow G$) [12]. УФ-спектры и спектры КД N^1 -(N' -ацетиламиноэтокси)-cAMP и продуктов его перегруппировки представлены на рис. 2. В них наблюдаются такие же закономерности, что и в случае N^1 -метокси-cAMP.

Продукт разложения N^1 -(β -аминоэтокси)-cAMP был, как уже отмечалось выше, нейтрален по данным электрофореза на бумаге ($pH 4,5$), содержал алифатическую аминогруппу, в его УФ-спектре присутствовал максимум поглощения при 263 нм. Спектр КД этого соединения имел форму, характерную для N^6 -замещенных производных cAMP, отрицательную полосу КД в области 255–260 нм наряду с небольшим положительным эффектом при 280 нм (рис. 3).

Спектры ЯМР N^1 -замещенных производных cAMP, промежуточных продуктов перегруппировки Димрота и конечных продуктов (N^6 -алкокси-производных cAMP) приведены на рис. 4. Можно отметить, что введение алкоксизаместителя в положение $N_{(1)}$ пуринового ядра вызывает сдвиг сигналов обоих ядерных протонов ($C_{(2)}H$ и $C_{(8)}H$) (рис. 4б, в) в область более высоких частот, причем наибольший сдвиг наблюдается для $C_{(2)}H$. В то же время химический сдвиг ядерных протонов в соединениях, замещенных по экзоциклической аминогруппе (рис. 4е–з), и в соединениях непуриновой структуры B (рис. 4г, д) меньше отличается от сдвига сигналов соответствующих протонов в спектре cAMP (рис. 4а). Сигналы протонов аминогруппы при наличии заместителя в положении $N_{(1)}$ также сильно сдвинуты в область более высоких частот.

Итак, на основании сравнения приведенных характеристик неизвестного вещества, являющегося продуктом разложения N^1 -(β -аминоэтокси)-cAMP, и характеристик исследованных соединений можно предположить, что данное вещество соответствует структуре N^6 -(β -аминоэтокси)-cAMP – конечному продукту перегруппировки Димрота, которая в этом случае протекает с аномальной легкостью. При исследовании кинетики перегруппировки с помощью электрофореза на бумаге, тонкослойной хроматографии и анализа УФ-спектров не было обнаружено заметных количеств промежуточного продукта B в смеси. Однако при $pH \geq 8$ в УФ-спектрах вначале наблюдалось некоторое уменьшение поглощения в области 258–263 нм и последующее его увеличение, что указывает на присутствие в смеси соединения B в незначительном количестве, т. е. в данном случае $k_1 \approx k_2$. Из табл. 2 видно, что скорость перегруппировки Димрота для N^1 -(β -аминоэтокси)-cAMP превышает скорость для N^1 -метокси-cAMP примерно в 10^3 – 10^4 раз. Подобное увеличение скорости реакции, по всей вероятности, может быть отнесено за счет внутримолекулярного катализа, осуществляемого алифатической аминогруппой в составе заместителя, поскольку N^1 -(N' -ацетиламиноэтокси)-cAMP, в котором данная аминогруппа защищена ацильным остатком, не проявляет аномальной лабильности. По-видимому, указанная аминогруппа облегчает нуклеофильную атаку гидроксильного иона на атом $C_{(2)}$ при протекании перегруппировки Димрота. Поэтому в данном случае для протекания перегруппировки не требуется такого избытка OH^- -ионов в среде, которое необходимо при обычных условиях реакции Димрота.

Таким образом, осуществлен синтез ряда неизвестных ранее N^1 -замещенных производных cAMP, большинство из которых содержит в составе заместителя реакционноспособные группировки. Обнаружена аномальная

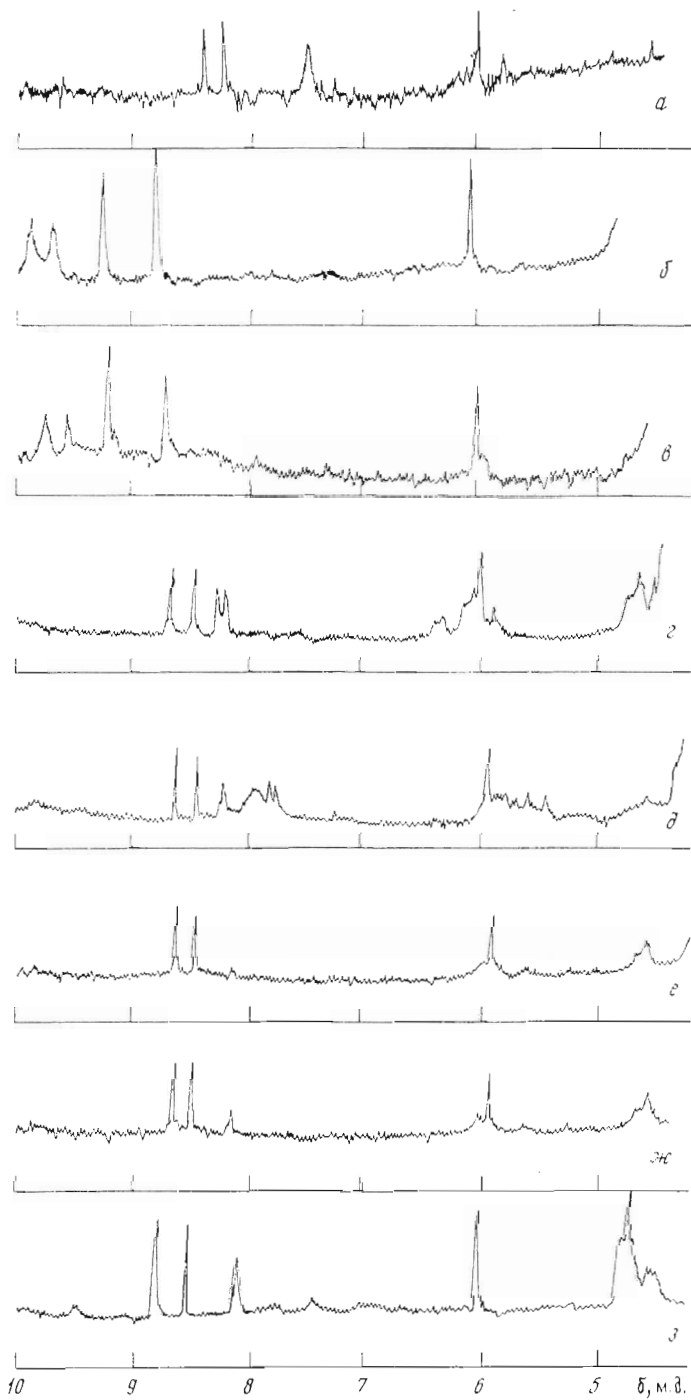


Рис. 4. Спектры ЯМР N^1 -замещенных производных cAMP и продуктов их перегруппировки: cAMP (a), N^1 -метокси-cAMP (б), N^1 -(N' -ацетиламинометокси)-cAMP (в), N^1 -метокси-5-формамидо-1-(β -D-рибофуранозил)-имидазол-4-карбоксамидин-3',5'-циклофосфата (г), N^1 -(N' -ацетиламинометокси)-5-формамидо-1-(β -D-рибофуранозил)- имидазол-4-карбоксамидин-3',5'-циклофосфата (д), N^6 -метокси-cAMP (е), N^6 -(N' -ацетиламинометокси)-cAMP (ж) и N^6 -(β -аминоэтокси)-cAMP (з)

легкость протекания перегруппировки Димрота для N^1 -(β -аминоэтокси)-cAMP, обусловленная наличием алифатической аминогруппы в составе заместителя.

Исследование взаимодействия полученных соединений с cAMP-зависимыми ферментами составит предмет отдельного сообщения.

Экспериментальная часть

В работе использовали cAMP (Reanal, Венгрия), дибромэтан и иодистый метил (Merck, ФРГ).

β -Бромэтиламин был синтезирован из β -оксиэтиламина нагреванием с бромистоводородной кислотой по методу [14]. n -Нитрофениловые эфиры уксусной,monoхлоруксусной и n -фторсульфонилбензойной [15] кислот были получены конденсацией соответствующих кислот с n -нитрофенолом в присутствии дициклогексилкарбодиимида аналогично методу [16]. Мононадфталевую кислоту для синтеза N^1 -окси-cAMP получали окислением фталевого ангидрида в щелочной среде [17]. В свою очередь, N^1 -окси-cAMP был синтезирован по методу, предложенному Фалбрайдом и сотр. [7], а 8-бром- N^1 -окси-cAMP — по методу [9].

Тонкослойную хроматографию проводили на пластинах Silufol UV-254 (Chemapol, ЧССР) в системах n -бутанол — уксусная кислота — вода, 5:2:3 (А) и этанол — 0,5 М ацетат аммония, 5:2 (Б). Электрофорез осуществляли на установке высоковольтного горизонтального электрофореза ВЭФА-5-0,35 на бумаге Whatman № 1 при градиенте напряжения 50 В/см с использованием системы 0,05 М уксусная кислота — 0,05 М ацетат аммония, pH 4,5 (Б). УФ-спектры снимали на спектрофотометре Hitachi 20-200 (Япония), ИК-спектры — на спектрометре UR-10 (ГДР) в виде пасты с вазелиновым маслом. Спектры КД снимали на дихромографе Mark III (Jobin Iyon, Франция). Для регистрации спектров использовали растворы с концентрацией $\sim 10^{-4}$ М.

Спектры ЯМР снимали на спектрометре XL-15-A (Varian, США). Образцы (в концентрации $\sim 1,5 \cdot 10^{-2}$ М) растворяли в диметилсульфоксиде (d_6 -DMSO).

Синтез N^1 -замещенных производных cAMP. N^1 -Метокси-cAMP (VII). 35 мг (0,1 ммоль) N^1 -окси-cAMP растворяли в 0,25 мл диметилсульфоксида. К полученной смеси добавляли 0,02 мл (0,317 ммоль) иодистого метила. Через 30 мин вещество осаждали добавлением 1 мл этанола и 20 мл эфира. Выпавший осадок отделяли и высушивали в вакууме. Продукт очищали колоночной хроматографией на даурексе 1×8 в Cl^- -форме ($1,5 \times 10$ см). Элюцию проводили водой. Фракции, содержащие вещество, упаривали досуха, остаток растирали со смесью этанол — эфир (1:10). Выход 15,3 мг (46,6%).

N^1 -(β -бромэтокси)-cAMP (VIII). К раствору 35 мг (0,1 ммоль) N^1 -окси-cAMP в 0,25 мл диметилсульфоксида добавляли 0,172 мл (2 ммоль) дибромэтана. Через сутки вещество осаждали добавлением 1 мл этанола, затем 20 мл эфира. Выпавший осадок отделяли и высушивали в вакууме. Выход 20 мг (37%).

N^1 -(β -аминоэтокси)-cAMP (III). К раствору 72 мг (0,2 ммоль) N^1 -окси-cAMP в 0,5 мл диметилсульфоксида добавляли 130 мг (0,64 ммоль) β -бромэтиламина. Через сутки вещество осаждали добавлением 2 мл этанола и 20 мл эфира, осадок отделяли и высушивали в вакууме. Полученное вещество без дальнейшей очистки использовали в синтезе ацильных производных.

8-Бром- N^1 -(β -аминоэтокси)-cAMP (X). Получали из 82 мг (0,2 ммоль) 8-бром- N^1 -окси-cAMP и 130 мг (0,64 ммоль) β -бромэтиламина аналогично соединению (III). Вещество без очистки использовали для получения ацильных производных.

N^1 -Ацильные производные N^1 -(β -аминоэтокси)-cAMP (III) и 8-бром-

N¹-(β-аминоэтокси)-cAMP (X). К суспензии 0,27 ммоль соединения (III) или (X) в 4 мл диметилформамида, содержащего 0,2 мл триэтиламина, добавляли 0,425 ммоль *n*-нитрофенилового эфира соответствующей кислоты (уксусной,monoхлоруксуснойили*n*-фторсульфонилбензойной). Через 30–60 мин раствор упаривали досуха, остаток растирали со смесью этанол — эфир (1 : 10), отделяли и высушивали в вакууме. Продукты очищали колоночной хроматографией на дауэксе 1×8 в Cl⁻-форме (1,5×15 см). Вещества элюировали с колонки водой. Фракции, содержащие продукт, упаривали досуха, остаток растирали со смесью этанол — эфир, осадок отфильтровывали и высушивали в вакууме. Выход 22–40% (см. табл. 1).

Изучение кинетики перегруппировки N¹-замещенных производных cAMP. В работе использовали следующие буферные растворы: pH 6–8, 0,2 М фосфат натрия; pH 11, 0,01 М NaOH.

N¹-Метокси-cAMP (VII). 3,7 мг соединения (VII) растворяли в 1 мл соответствующего буфера и выдерживали при температуре 20, 50 и 80°. Через определенные промежутки времени из растворов отбирали по 10 мкл и наносили на пластинку Silufol UV-254. Параллельно с этим по 10 мкл растворов вносили в кювету с 3 мл воды и снимали УФ-спектры. Хроматографическое разделение проводили в системе А. Пятна, соответствующие исходному веществу (*R_f*, 0,23) и продуктам перегруппировки (*R_f*, 0,29 (*B*), *R_f*, 0,44 (*B*)), обнаруживали по поглощению в УФ-свете, вырезали, вещество элюировали 3 мл воды и спектрофотометрически определяли количество вещества в пробе, используя соответствующий коэффициент молярной экстинкции. Строили график зависимости (в полулогарифмических координатах) степени превращения соединения от времени, из которого определяли время полупревращения соединения (*t_{1/2}*) и константу скорости реакции первого порядка (*k_{reak}*).

N¹-(N'-ацетиламиноэтокси)-cAMP (IV). Изучение кинетики перегруппировки проводили методом, описанным для соединения (VII). Тонкослойную хроматографию осуществляли в системе Б (*R_f*, 0,29 (A), *R_f*, 0,39 (*B*), *R_f*, 0,60 (*B*)).

N¹-(β-Аминоэтокси)-cAMP (III). Кинетика перегруппировки изучалась тем же способом, что и в случае соединения (VII). Вместо разделения веществ с помощью тонкослойной хроматографии использовали электрофорез на бумаге при pH 4,5, так как N¹-(β-аминоэтокси)-cAMP имеет положительный заряд, а N⁶-(β-аминоэтокси)-cAMP в этих условияхнейтрален.

ЛИТЕРАТУРА.

- Severin E. S., Nesterova M. V., Sashchenko L. P., Rasumova V. V., Tunitskaya V. L., Kochetkov S. N., Gulyaev N. N. (1975) Biochim. et biophys. acta, 384, 413–422.
- Гуляев Н. Н., Туниская В. Л., Нестерова М. В., Мазурова Л. А., Муртузаев И. М., Северин Е. С. (1977) Биохимия, 42, 2074–2078.
- Гуляев Н. Н., Барanova Л. А., Северин Е. С. (1976) Бюл. изобр. № 6. Авт. свид. № 502887 от 20.12.74 г.
- Северин Е. С., Ткачук В. А., Гуляев Н. Н. (1976) Биохимия, 41, 384–388.
- Brain D. M., Todd A., Varadarajan S. (1956) J. Chem. Soc., 2384–2389.
- Meyer R. B., Shuman D. A., Robins R. K., Miller J. P., Simon L. N. (1973) J. Med. Chem., 16, 1419–1423.
- Falbriard J. G., Posternak Th., Sutherland E. W. (1967) Biochim. et biophys. acta, 148, 99–105.
- Васильев В. Ю., Гуляев Н. Н., Северин Е. С. (1975) Ж. Всес. хим. о-ва им. Д. И. Менделеева, 20, 306–322.
- Uno H., Meyer R. B., Shuman D. A., Robins R. K., Simon L. N., Miller J. P. (1976) J. Med. Chem., 19, 419–422.
- Dimroth O. (1910) Ann., 373, 336–370.
- Macon J. B., Wolfenden R. (1968) Biochemistry, 7, 3453–3458.
- Fujii T., Ytaya T., Wu C. C., Tanaka F. (1971) Tetrahedron, 27, 2415–2423.
- Туниская В. Л., Гуляев Н. Н., Полетаев А. И., Северин Е. С. (1977) Биохимия, 42, 746–753.
- Cortese F. (1936) J. Amer. Chem. Soc., 58, 191–192.

15. Steinkopf W. (1927) J. Pract. Chem., **117**, 1-82.
16. Rammel D. H., Khorana H. G. (1963) J. Amer. Chem. Soc., **85**, 1997-2002.
17. Böhme H. (1937) Chem. Ber., **70**, 382-383.

Поступила в редакцию
19.IX.1978

SYNTHESIS, PHYSICO-CHEMICAL PROPERTIES
AND KINETICS OF THE REARRANGEMENT OF N¹-SUBSTITUTED
ADENOSINE 3', 5'-CYCLOPHOSPHATE DERIVATIVES

GULYAEV N. N., TUNITSKAYA V. L., MASUROVA L. A.,
SEVERIN E. S.

Biology Department, M. V. Lomonosov State University, Moscow

A number of previously unknown derivatives of adenosine 3',5'-cyclophosphate (*cAMP*) containing substituents at the N₍₁₎ position of the purine base have been synthesized. Some of these compounds bear the reactive groups of different nature. The anomalous feasibility of the Dimroth rearrangement was observed for N¹-(β-aminoethoxy)-*cAMP* and 8-bromo-N¹-(β-aminoethoxy)-*cAMP* and rationalized in terms of probable intramolecular catalysis mediated by the aliphatic amino group of the substituent. The kinetics of the Dimroth rearrangement for N¹-(β-aminoethoxy)-*cAMP* and for some other N¹-substituted *cAMP* derivatives were studied.
